·临床研究。

超声引导下小儿原发性肠套叠水压灌肠治疗成功后 复套发生的危险因素分析

胡 蕾 叶显俊 朱宇飞 何年安

摘要目的探讨超声引导下小儿原发性肠套叠水压灌肠治疗成功后复套发生的危险因素。方法回顾性分析我院收治的50例原发性肠套叠患儿的临床资料和声像图,分别收集临床资料(性别、年龄、有无呕吐或血便)及超声特征(肠套位置、肠套叠"同心圆"最大径、套入肠壁有无血流信号、有无腹腔积液、有无肿大淋巴结)。通过单因素分析筛选出超声引导下水压灌肠治疗成功后复套发生的危险因素,应用二分类Logistic回归分析预测复套发生的独立危险因素。绘制受试者工作特征(ROC)曲线分析各相关因素预判复套发生的截断值及曲线下面积。结果 单因素分析显示,肠套叠"同心圆"最大径、血便、腹腔积液及套入肠管壁无血流信号是复套发生的危险因素(均P<0.05);Logistic多因素回归分析显示,肠套叠"同心圆"最大径、血便、腹腔积液、套入肠管壁无血流信号均是预测复套发生的独立危险因素(OR=5.88、4.20、4.12、3.55);其中肠套叠"同心圆"预测复套诊断效能最高,其评估复套发生的截断值为35 mm,ROC曲线下面积为0.97。结论 超声引导下小儿原发性肠套叠水压灌肠治疗成功后复套发生的主要危险因素分别为肠套叠"同心圆"最大径≥35 mm、出现血便、腹腔积液及套入肠管壁无血流信号。

关键词 超声引导;肠套叠,小儿;水压灌肠;复套;Logistic 回归 [中图法分类号]R445.1;R574.3 [文献标识码]A

Risk factors analysis of recurrent primary intussusception in children of hydrostatic reduction guided by ultrasonography

HU Lei, YE Xianjun, ZHU Yufei, HE Nianan

Department of Ultrasound, the First Affiliated Hospital of USTC, Anhui Provincial Hospital, Hefei 230001, China

ABSTRACT Objective To explore the risk factors of recurrent primary intussusception in children of hydrostatic reduction guided by ultrasonography. Methods The clinical data(gender, age, vomiting and bloody stool) and ultrasound images (intussusception location, maximum diameter of intussusception "concentric circle", blood flow signal of intestinal wall, seroperitoneum and enlarged lymph nodes) of 50 primary intussusception in children were retrospectively analyzed. The risk factors of recurrent intussusception were screened out by the univariate analysis, and binary Logistic regression equation was used to analyze the risk factors. The area under the curve and the cut-off value of each factor were calculated by the receiver operating characteristic (ROC) curve. Results Univariate analysis showed that the maximum diameter of intussusception "concentric circle", blood stool, seroperitoneum and no blood flow signal of the intestinal wall were the risk factors for the occurrence of recurrent intussusception (all P<0.05). Logistic regression analysis revealed that maximum diameter of intussusception "concentric circle", bloody stool, seroperitoneum, no blood flow signal of intestinal wall were independent risk factors for the occurrence of intussusception (OR=5.88, 4.20, 4.12, 3.55). The cut-off value of maximum diameter of intussusception "concentric circle" was 35 mm, and the area under ROC curve was 0.97, which had the highest predictive efficacy. Conclusion The maximum diameter of intussusception "concentric circle" ≥35 mm, blood stool, seroperitoneum and no blood flow signal of intestinal wall are the important risk factors for recurrent primary intussusception in children of hydrostatic reduction guided by ultrasonography.

KEY WORDS Ultrasound guidance; Intussusception, children; Hydrostatic reduction; Recurrent intussusception; Logistic regression

肠套叠是婴幼儿常见的腹部急症。原发性肠套叠多见于2岁以内体型较肥胖的婴幼儿,以6~12月龄最常见。如不及时治疗,可能引起肠坏死、穿孔,严重者可以引起腹膜炎、中毒性休克,甚至危及生命。早期诊断是治愈小儿原发性肠套叠的重要因素,超声是临床诊断及治疗小儿肠套叠首选影像学方法。关于超声引导下水压灌肠治疗小儿原发性肠套叠的方法与技巧已有较多的文献[1-3]报道,但对其治疗成功后复套发生的报道不多。本研究旨在探讨超声引导下小儿原发性肠套叠水压灌肠治疗成功后复套发生的高危因素,以期对临床治疗结果起到预判的作用。

资料与方法

一、研究对象

选取 2019 年 1 月至 2020 年 1 月在我院行温生理 盐水灌肠复位成功的原发性肠套叠患儿 50 例,其中男 35 例,女 15 例,年龄 8 个月至 8 岁,平均(27.65±4.56)个月。 其中于超声水压灌肠成功后 48 h内再次出现肠套叠 者 30 例(复套组),水压灌肠成功后 48 h内未复套者 20 例(未复套组)。复套组 30 例中,4 例复套 2 次,1 例 复套 3 次,2 例复套 4 次,1 例复套 4 次后转入他院后好 转出院。排除任何因素引发的继发性肠套叠患儿包 括肿瘤、炎症、息肉、梅克尔息室及过敏性紫癜等。本 研究经我院医学伦理委员会批准,所有患儿家属均签 署知情同意书。

二、仪器与方法

- 1.仪器及试剂:使用迈瑞DC8彩色多普勒超声诊断仪,C5-1探头,频率3.5~5.5 MHz;L12-3探头,频率4.4~13.5 MHz。灌肠用具:灌肠筒、18号Foley导尿管、20 ml注射器、温生理盐水500~1000 ml、止血钳、石蜡油及输液架等。
- 2. 超声检查:常规超声测量"同心圆"最大径,观察 并记录肠套叠包块位置、周边肠系膜有无肿大淋巴结 (最大径≥10 mm 为肿大淋巴结)、腹盆腔有无积液,以 及肠套叠套人肠管壁的血流信号。
- 3. 超声引导下水压灌肠:患儿取截石位,肛门插 18号 Folev 氏导尿管,尿管插入深度约为5~8 cm,气囊

充气约20 ml,防止导尿管滑脱。灌肠筒内倒入500~1000 ml 温热生理盐水,出水管接Foley氏管,用输液架调节灌肠筒高度(80~120 cm),控制灌肠压力于8~12 kPa。超声实时监测肠套叠"同心圆"包块大小,以超声检查"同心圆"包块消失、回盲瓣出现"蟹钳"样图像及小肠内进水呈"葡萄"样征为水压灌肠复位成功的标志[1]。

三、统计学处理

应用 SPSS 19.0 统计软件,计量资料以 $\bar{x}\pm s$ 表示,单因量分析行独立样本t检验;计数资料以例或率表示,组间比较行 χ 检验。将单因素分析结果中差异有统计学意义的临床及超声观察指标作为自变量进行二分类 Logistic 回归分析。绘制受试者工作特征(receiver operating characteristic, ROC)曲线评价各独立危险因素预测复套发生的诊断效能。P<0.05为差异有统计学意义。

结 果

一、单因素分析结果

未复套组与复套组在性别、年龄、肠套叠位置、有 无呕吐及有无周边肠系膜淋巴结肿大方面比较差异 均无统计学意义;两组患儿在有无血便及肠套叠"同 心圆"最大径、套入肠管壁有无血流信号、腹盆腔有无 积液方面比较差异均有统计学意义(均 P<0.05)。见 表1和图1。

二、Logistic 回归分析结果

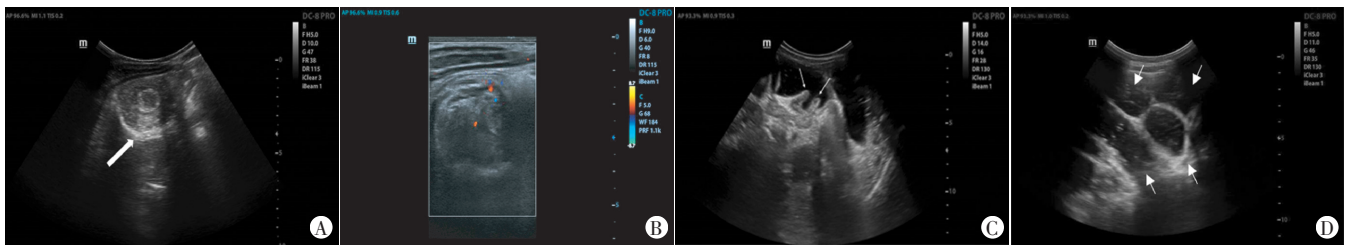
将上述两组比较差异有统计学意义的4个因素进行Logistic 回归模型分析,结果表明肠套叠"同心圆"最大径、血便、腹腔积液、套入肠管壁无血流信号是预判复套的危险因素,其作用大小依次肠套叠"同心圆"最大径、血便、腹腔积液、套入肠管壁无血流信号;二分类Logistic 回归方程为:Logistic (P)=-3.76+5.88ד同心圆"最大径+4.20×血便+4.12×腹腔积液+3.55×套入肠管壁血流信号。见表2。

三、复套发生各危险因素ROC曲线分析结果

ROC曲线分析结果显示,肠套叠"同心圆"最大径的截断值为35 mm,其评估复套发生的曲线下面积为0.97,在复套发生各危险因素中最大。见表3和图2。

衣 1 网组思有帕外及超户观察指体比较															
组别	男/女	年龄	肠套叠部位(例)		呕吐(例) 血便(例)		(例)	腹膜后淋巴结		"同心圆"最	腹腔积液(例)		套人肠管壁血流信号(例)		
组別	(例)	(个月)	右上腹	其余部位	有	无	有	无	肿大	不肿大	大径(mm)	有	无	有	无
复套组(30)	23/7	27.57±18.26	25	5	22	8	20	10	18	12	37.44±7.43	18	12	13	17
未复套组(20)	12/8	25.67±11.27	16	4	14	6	7	13	11	9	31.65±6.35	12	16	15	5
χ^2/t 值	0.22	0.38	0	.07	0.	.06	4.	84	0	.12	3.08	7.	.79	4	.88
P值	0.63	0.71	0	.79	0.	.77	0.	03	0	.73	< 0.01	0.	.01	0	.03

表 1 两组患者临床及超声观察指标比较



A:肠套叠"同心圆"(箭头示)表现;B:肠套叠套入肠管壁可探及点状血流信号;C:超声引导下水压灌肠成功后"蟹钳"样回盲瓣(箭头示);D:肠套叠灌肠成功后小肠进水呈"葡萄"样征(箭头示)

图 1 患儿女,11个月,超声显示肠套叠"同心圆"征及超声引导下水压灌肠图像

表 2 复套发生相关因素 Logistic 回归分析结果

变量	β值	S.E.	Wald χ^2 值	P值	OR值	95%可信区间
"同心圆"最大径	1.87	0.36	25.07	< 0.01	5.88	2.69~13.64
血便	1.43	0.69	4.19	0.03	4.20	1.66~9.97
腹腔积液	1.53	0.37	15.45	0.01	4.12	2.71~9.76
套入肠管壁血流信号	1.54	0.36	17.20	0.03	3.55	2.69~11.64
常数项	-3.76	0.35	59.78	< 0.01	0.07	-

表3 复套发生各危险因素ROC曲线分析结果

指标	敏感性	特异性	曲线下面积	95%可信区间
"同心圆"最大径	83.30%	97.70%	0.97	0.93~0.99
血便	66.67%	65.00%	0.65	0.50~0.81
腹腔积液	60.50%	80.79%	0.70	0.55~0.84
套入肠管壁血流信号	56.66%	75.78%	0.65	0.50~0.81

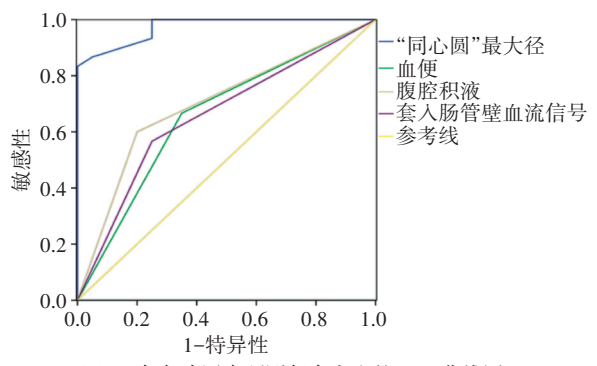


图2 各危险因素预测复套发生的ROC曲线图

讨 论

超声对小儿肠套叠图像特异性高,诊断准确率高,本研究中超声对50例小儿肠套叠诊断准确率达100%。超声引导下水压灌肠是治疗小儿原发性肠套叠的首选方法,研究[4-5]表明超声引导下水压灌肠治疗小儿原发性肠套叠的安全性及成功率均高于X线引导下的气钡剂灌肠。但超声引导下水压灌肠治疗小儿原发性肠套叠成功后复套发生率较高,2019年在我院超声引导下水压灌肠成功后患儿48 h发生复套的概率为9.64%,复套2次及以上的概率为3.25%。

本研究应用单因素及Logistic 回归对复套组和未复套组患儿的临床及超声资料进行分析,筛选并研究经超声引导下水压灌肠治疗小儿原发性肠套叠成功后复套发生的高危因素,结果表明超声测量肠套叠"同心

圆"最大径≥35 mm、患儿病程中出现血便、超声检查显 示腹腔有积液及套入肠管壁无血流信号均是复套发生的 危险因素。本研究中复套组肠套叠"同心圆"最大径明显 高于未复套组[(37.44±7.43) mm vs. (31.65±6.35 mm), P<0.01],复套组中肠套叠"同心圆"最大径≥35 mm者 17例,未复发组仅5例,且Logistic回归分析其预判复 套发生的 OR 值(5.88) 及 ROC 曲线的曲线下面积 (0.97)在各危险因素中均为最大,说明当超声测量肠 套叠包块"同心圆"最大径≥35 mm 时超声引导下水压 灌肠成功后复套发生的风险会明显增加。分析原因 可能是肠套叠包块"同心圆"最大径反映了套入肠壁水 肿增厚程度、套入肠管的层数及是否合并复合套等,上 述因素均使"同心圆"最大径增大,并导致灌肠成功后 的肠壁仍处于高度水肿状态,蠕动性差,从而增加复套 发生的风险。有研究[6]提出当肠套叠的"同心圆"最大 径>40 mm 时超声引导下水压灌肠成功率会明显减低, 建议改变临床治疗方案。本研究结果与之一致。

本研究结果显示,当患儿出现血便及超声检查显 示有腹腔积液情况下复套发生的 OR 值分别为 4.20、 4.12。血便及腹腔积液可能是患儿肠套叠发生病程较 长亦或病程进展较快引起的肠管壁水肿的内渗出和 外渗出,此状态下提示肠壁处于高度水肿,超声引导 下水压灌肠成功后复套发生的风险亦增加。有学者[7] 认为患儿肠套叠症状持续时间与超声引导下水压灌 肠的成功率有一定相关性,但笔者认为临床儿科医师 获取的患儿肠套叠症状持续时间提供均由家长观察 代为提供,具有主观性和不准确性,而患儿出现血便 及腹腔积液是肠壁嵌顿时间长的客观判断指标。其 至有研究[8]指出腹腔积液及套入肠管内积液均提示有 腹膜炎发生的可能,此时超声引导下水压灌肠成功率 低,不应作为首选治疗方案。高频超声检查肠壁无血 流信号是另一复套发生的危险因素(OR=3.55),肠套 叠肠管嵌顿过紧及患儿肠套叠病程较长时,不仅肠壁 静脉回流受阻,动脉也可能发生缺血,此时彩色多普 勒难以探及肠管壁的血流信号。提示有肠壁缺血坏 死的可能,超声引导下灌肠失败率会增加,应早期采 取手术治疗方案[2-3]。

综上所述,超声引导下水压灌肠治疗小儿原发性 肠套叠成功后复套发生的危险因素分别为出现血便、 肠套叠"同心圆"最大径≥35 mm、腹腔积液及套入肠管 壁无血流信号。超声检查可对复套发生的可能性进 行有效预测,提示临床对复套发生高危因素的患儿进 行密切观察,及时调整临床治疗方案。

- [1] 李璐璐,孙厚坦,赵威武,等.超声监视下温盐水灌肠复位治疗小 儿肠套叠效果观察[J].西北国防医学杂志,2018,39(4):259-262.
- [2] 蔡菊芳,高瑞凤,王少峰,等.小儿肠套叠彩色多普勒超声诊断分 析[J].中华疝和腹壁外科杂志(电子版), 2014,8(6):549-550.
- [3] 叶永明.彩色多普勒超声用于小儿肠套叠诊断的应用[J].现代诊

- 断与治疗, 2019, 30(12): 2049-2050.
- [4] 汪登亮,康权,王浩名,等.超声引导下新型水灌肠仪器灌肠与传 统空气灌肠治疗小儿肠套叠的有效性及安全性研究[J].中国全 科医学,2019,22(6):712-714.
- [5] 潘祝彬,高群,黄河,等.超监视下水压灌肠与X线下空气灌肠治疗 小儿肠套叠的效果比较[J].中国医药导报,2018,15(8):116-119.
- [6] 夏江燕,林弋轩,蔡玉新,等.超声检查在小儿肠套叠诊断中的临 床价值[J].新疆医学,2016,46(2):192-193.
- [7] 何年安,展凤麟,祝小茜,等,超声引导水压灌肠治疗小儿肠套叠 多因素分析[J]. 临床超声医学杂志, 2007, 9(10): 599-601.
- [8] He N, Zhang S, Ye X, et al. Risk factors associated with failed sonographically guided saline hydrostatic intussusception reduction in children[J].J Ultrasound Med, 2014, 33(9): 1669-1675.

(收稿日期:2020-02-10)

• 病例报道•

Diagnosis of adrenal lymphoma by ultrasound guided puncture: a case report 超声引导下穿刺诊断肾上腺淋巴瘤1例

王栋华 韩明丽 陈红燕

「中图法分类号]R445.1:R736.6

「文献标识码]B

患者男,70岁,因"黑便2周,伴晕厥1次"入院。患者近 1个月体质量减轻近5kg,有持续低热。体格检查未见异常。 实验室检查:血红蛋白66 g/L,白细胞6.29×10°/L,血小板54× 10°/L; C-反应蛋白 72.6 μg/ml; 乳酸脱氢酶 260 U/L; 肿瘤指标 CEA、AFP、CA199、CA125、CA153、CA724均正常;促肾上腺皮 质激素、皮质醇、醛固酮、血管紧张素 I 亦均正常。骨髓活检: 红系为主造血细胞增多,形态缺乏特征;未见淋巴细胞增多和 形态异常。超声检查:双侧肾上腺区各见一枚低回声占位,右 侧大小约78 mm×27 mm×42 mm, CDFI 于其内未探及血流信号 (图1);左侧大小约57 mm×44 mm×36 mm,外形欠规则,边缘清 晰, CDFI于其内可探及血流信号(图2)。超声提示: 双侧肾上 腺实质性占位,淋巴瘤待排。后行超声引导下经皮经肝行右侧 肾上腺区占位穿刺活检(图3),取材组织3条,病理检查:高级 别B细胞淋巴瘤,见图4。免疫组化检查:肿瘤细胞LCA(+), CD20(+),CD79a(+),MUM1(+),CD10(弱+),Bcl-6(+),CK pan (-), Ki-67(70%+), ChgA(-), Syn(-), Desmin(-), S100(-),

CD3(部分+),CD138(部分+)。

讨论:淋巴瘤是源于淋巴组织的恶性肿瘤,发生于肾上 腺的淋巴瘤较少见,多见于老年人,多数为非霍奇金淋巴瘤,以 B细胞型多见[1]。临床表现常缺乏特异性,主要症状包括不明原 因消瘦、乏力、发热。实验室检查多表现为乳酸脱氢酶升高;但 是肿瘤指标及肾上腺相关内分泌指标正常。超声多表现为双侧 肾上腺区边界清晰,外形不规则,内部回声较均匀的低回声病灶; CDFI示内部血流信号稀少或无明显血流信号[1]。本例超声表现 较典型。由于肾上腺位于腹膜后,周围血管较多,且左侧肾上腺 与脾脏及胃毗邻,安全穿刺路径少,因此本例患者选择超声引导 下经皮经肝脏对右侧肾上腺穿刺活检,避开了危险脏器及大血 管,取材满意,且无并发症,可推荐作为本病首选的穿刺方法。

参考文献

[1] 赵艳春,包中涛,李建卫.肾上腺弥漫性大B细胞淋巴瘤声像图特 点分析[J].临床超声医学杂志,2015,17(6):395-397.



位,CDFI于其内未探及明显血流信号 占位,CDFI于其内可探及血流信号

图 1 超声显示右侧肾上腺区低回声占 图 2 超声显示左侧肾上腺区低回声



肾上腺区占位穿刺活检示意图

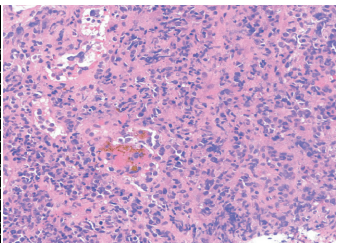


图 3 超声引导下经皮经肝行右侧 图 4 病理图可见高度异型的淋巴 细胞(HE染色,×200)

(收稿日期:2019-08-02)